

### Математическое моделирование тонкого профиля

Рассматривается движение профиля, в котором форма несущей поверхности и кинематические параметры как функции координат и времени заданы. Пусть в некоторый начальный момент времени  $\tau = 0$  кинематические параметры начинают изменяться по произвольному закону, причем

$$w_n = \frac{W_n}{U_0} = f_n(\overline{x_0}, \overline{y_0}, \tau), \quad (1)$$

где  $W_n$  – нормальная составляющая возмущённой скорости потока;  $U_0$  – скорость невозмущённого потока;  $\overline{x_0}, \overline{y_0}$  – безразмерные координаты точки на поверхности исследуемого тела;  $\tau$  – безразмерное время, которое определяется выражением

$$\tau = \frac{1}{b} \int_0^t U(\xi) d(\xi). \quad (2)$$

В зависимости от геометрической формы профиля и условий его обтекания течение может быть отрывным или безотрывным. Математическая формулировка нестационарной нелинейной задачи для потенциала возмущенных скоростей рассматривается применительно к плоско-параллельному обтеканию тонкой несущей поверхности (рис. 1).

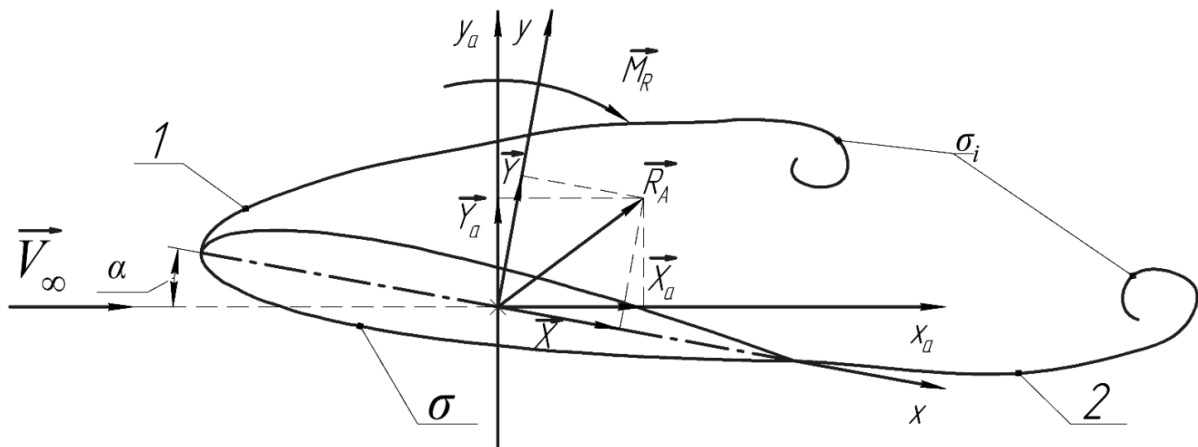


Рисунок 1 – К отрывному обтеканию бесконечно тонкого профиля

Пусть  $\sigma(\overline{x_0}, \overline{y_0}) = 0$  – уравнение несущей поверхности. При отрыве потока возникает движение жидкости с образованием поверхностей тангенциального разрыва скорости, которые в кинематическом отношении эквивалентны вихревым слоям. Поверхности тангенциального разрыва скорости описываются уравнениями:  $\sigma_i(\overline{x_0}, \overline{y_0}, \tau) = 0, (i = 1, 2, \dots)$ .

В общем случае отрывного обтекания образуются две системы свободных вихрей – носовая 1 и кормовая 2 (рис. 1).

Предполагается, что везде вне профиля и следа течение является безвихревым, где для потенциала возмущенных скоростей  $\Phi(x, y, \tau)$  справедливо уравнение Лапласа:

$$\frac{\partial^2 \Phi}{\partial x^2} + \frac{\partial^2 \Phi}{\partial y^2} = 0. \quad (3)$$

При решении поставленной задачи накладываются следующие граничные условия:

– условие непротекания на поверхности профиля:

$$\vec{\nabla} \Phi(\vec{r}, t) \cdot \vec{n}(\vec{r}, t) = \vec{V}_*(\vec{r}, t) \cdot \vec{n}(\vec{r}, t), \quad (4)$$

где  $\vec{V}_* = \vec{V}_k + \vec{\Omega} \times \vec{r}$  – скорость движения жидкости по поверхности профиля;  $\vec{n}(\vec{r}, t)$  – внешняя нормаль к поверхности профиля;

– условие убывания возмущений на бесконечном удалении от профиля:

$$\Phi(\vec{r}, t) \rightarrow 0, \quad |\vec{r}| \rightarrow \infty; \quad (5)$$

– при переходе через поверхности вихревого следа  $\sigma_i$  должно соблюдаться условие непрерывности давления и нормальной составляющей скорости:

$$p_- = p_+, (\nabla \Phi \cdot \vec{n})_- = (\nabla \Phi \cdot \vec{n})_+, (x, y, \tau) \in \sigma_i; \quad (6)$$

где знаки (–) и (+) относятся к разным сторонам поверхностей  $\sigma_i$ ;

– на кромках несущей поверхности, с которых стекают вихревые поверхности, выполняется гипотеза Чаплыгина - Жуковского - Кутта о конечности скоростей. Обозначим через  $L$  линию схода потока, на которой обеспечивается:

$$p_- = p_+, (\nabla \Phi \cdot \vec{n})_- = (\nabla \Phi \cdot \vec{n})_+, (x, y, \tau) \in L; \quad (7)$$

– теорема Томсона, охватывающая профиль и его спутный след:

$$\frac{d}{dt} \oint \vec{V} \cdot \vec{dl} = 0. \quad (8)$$

Все перечисленные условия должны выполняться в каждый расчетный момент времени для рассматриваемого нестационарного движения. Задача является нелинейной и заключается в нахождении потенциала скорости  $\Phi(x, y, \tau)$  при заданных начальных условиях.

Поверхности  $\sigma$  и  $\sigma_i$  заменяются непрерывным вихревым слоем с напряженностью  $\gamma_{+\Sigma}$  и  $\gamma_{-i}$  соответственно. Поле скоростей, вызванных этим вихревым слоем, удовлетворяет уравнению Лапласа и условию (5). Для выполнения условия (6) в следе его достаточно рассматривать в виде свободной вихревой поверхности, так как в соответствии с теоре-

мой Н. Е. Жуковского «в малом» на этой поверхности отсутствует перепад давлений.

Для определения  $\gamma_{+\Sigma}$  и  $\gamma_{-i}$  на  $\sigma$  и  $\sigma_i$  используются: граничное условие (4), постулат Чаплыгина - Жуковского - Кутта, начальные условия задачи, а также теорема Томсона о неизменности циркуляции по замкнутому жидкому контуру.

В результате задача сводится к системе линейных алгебраических уравнений (СЛАУ) и ее решению.

$$\sum_1^n \Gamma_\mu \cdot a_{\mu\nu} + \sum_1^n a_{\mu\nu} \cdot \Delta_i = 2 \cdot \pi \cdot f_n(\overline{x_{\nu\mu}}, \overline{y_{\nu\mu}}, \tau), \quad \nu, \mu = 1, 2, \dots, n, \quad (9)$$

где  $a_{\mu\nu} = \frac{1}{r_{\nu\mu}}$ ,  $r_{\nu\mu}$  – расстояние от контрольной точки  $\nu$  до дискретного вихря  $\mu$ ;  $\Gamma_\mu$  – циркуляция скорости на теле;  $\Delta_i$  – циркуляция скорости на пелене;  $i$  – количество свободных вихрей;  $n$  – количество дискретных вихрей, которыми описывается исследуемое тело.

### Алгоритм и методика решения задачи

СЛАУ (9) представляем в матричном виде:

$$W_\mu \cdot \Gamma_\mu + W_{N_{\sigma P}} \cdot \Delta = B, \quad (10)$$

$$\text{где } \Gamma_\mu = \begin{pmatrix} \Gamma_1 \\ \cdot \\ \cdot \\ \cdot \\ \Gamma_\mu \end{pmatrix}, \Delta = \begin{pmatrix} \Delta_1 \\ \cdot \\ \cdot \\ \cdot \\ \Delta_{N_{\sigma P}} \end{pmatrix}, B = \begin{pmatrix} 2 \cdot \pi \cdot f_1(\overline{x_{1\mu}}, \overline{y_{1\mu}}, \tau) \\ \cdot \\ \cdot \\ \cdot \\ 2 \cdot \pi \cdot f_n(\overline{x_{\nu\mu}}, \overline{y_{\nu\mu}}, \tau) \end{pmatrix},$$

$$W_\mu = \left\{ \frac{\Gamma_\mu}{r_{\nu\mu}} \right\}, W_{N_{\sigma P}} = \left\{ \frac{\delta\gamma}{r_\mu} \right\}.$$

Алгоритм решения задачи нестационарного обтекания с началом образования вихревого следа включает в себя (рис. 2):

1) расчет элементов матрицы взаимовлияния  $W_\nu$  и граничных условий, которые в процессе расчета остаются неизменными, так как геометрия профиля не изменена;

2) получение обращенной матрицы коэффициентов взаимовлияния  $W_\nu^{-1}$ ;

3) предположение о том, что на нулевом расчетном шаге вихревой след отсутствует;

4) расчет вектора-столбца  $B(\tau)$  граничных условий в расчетный момент времени  $\tau$ ;

5) решение (10) и определение неизвестных циркуляций  $\Gamma(\tau)$ :

$$\Gamma(\tau) = W_{\nu}^{-1}(B(\tau) - W_{\mu}(\tau) \cdot \Delta(\tau)); \quad (11)$$

6) расчет распределенных и суммарных аэродинамических нагрузок на теле. Расчет перепада давлений выполняют по интегралу Коши – Лагранжа:

$$\Delta p = p_+ - p_- = -\rho \cdot \left( \frac{\partial(\varphi_+ - \varphi_-)}{\partial \tau} + \frac{1}{2} \cdot (U_+^2 - U_-^2) \right); \quad (12)$$

7) При известном поле скоростей определяется положение точек вихревой пелены к следующему расчетному моменту безразмерного времени  $\tau_{k+1}$  и циркуляции вновь образующихся вихрей на ней;

8) вычисляется матрица  $W_{\mu}(\tau_{k+1})$ .

После этого осуществляется переход к следующему расчетному шагу, на котором выполняются все вышеперечисленные пункты, начиная с четвертого пункта. Расчет выполняется до достижения заданного значения безразмерного времени  $\tau_K$ .

При обтекании тонкого профиля вихревая схема формируется путем разбиения профиля присоединенными вихрями и контрольными точками (рис. 3). Особенностью вихревой схемы профиля при моделировании нестационарного обтекания



Рисунок 2 – К алгоритму расчета нелинейной задачи об отрывном обтекании бесконечно тонкого профиля

при моделировании нестационарного обтекания

является расположение первого дискретного вихря ( $\mu = 1$ ) не на передней кромке профиля, а перед ней в потоке на линии продолжения хорды профиля на расстоянии  $\bar{x}_1 = 1/2 n$  (рис. 3), тогда вихрь  $\mu = n + 1$  располагается за задней кромкой на расстоянии  $\bar{x}_{n+1} = 1/2 n$ . Такая особенность вихревой схемы определена теоремой Томсона, а количество вихрей на один больше, чем расчётных участков.



Рисунок 3 – К вихревой схеме нестационарной отрывной задачи

Для рассмотренного случая построения вихревой схемы профиля при его нестационарном обтекании координаты дискретных вихрей и контрольных точек рассчитываются с помощью выражения:

$$\bar{x}_\mu = \frac{2\mu - 3}{2(n-1)}, \bar{x}_v = \frac{v-1}{n-1}, \bar{y}_\mu, \bar{y}_v = 0, \mu = 1, 2, \dots, n+1, v = 1, 2, \dots, n. \quad (13)$$

Так как в начальный момент времени  $\tau$  профиль находится в состоянии покоя, то СЛАУ (10) соответствует бесциркуляционному обтеканию исследуемого тела. Этот случай принято называть *нулевым расчетным шагом* при моделировании нестационарного обтекания профиля. Решение такого вида СЛАУ описано в [3].

*Моделирование первого расчетного шага* интегрирования. В случае безотрывного обтекания передней кромки профиля моделируется только кормовая вихревая пелена, сходящая в поток из точки, принадлежащей дискретному вихрю  $\mu = n + 1$ . В случае моделирования отрывного обтекания передней кромки профиля моделируется сход вихревой пелены из точки, принадлежащей дискретному вихрю  $\mu = 1$  (рис. 4). В точках  $\mu = 1$  и  $\mu = n + 1$  (рис. 4) рассчитываются относительные скорости  $\bar{V}_1$  и  $\bar{V}_{n+1}$ , выражения для определения которых имеют вид:

$$\bar{v}_1^1 = \bar{W}_{1\mu}^0 + \bar{U}_0; \bar{v}_{n+1}^1 = \bar{W}_{n+1\mu}^0 + \bar{U}_0; \mu = 1, 2, \dots, n+1, \quad (14)$$

где  $\bar{U}_0 = U_0 / U_0$  – безразмерная скорость невозмущённого потока;  $\bar{W}_{1\mu}^0$  и  $\bar{W}_{n+1\mu}^0$  – безразмерные относительные скорости, индуцируемые всеми дискретными вихрями  $\mu = 1, 2, \dots, n+1$ , соответственно в точках  $\mu = 1$  и  $\mu = n+1$  на нулевом шаге интегрирования. Скорости  $\bar{W}_{1\mu}^0$  и  $\bar{W}_{n+1\mu}^0$  рассчитываются с некоторой особенностью, заключающейся в том, что при расчёте скорости в точке  $\mu = 1$  скорость рассчитывается от всех дискретных вихрей, за исключением первого. Аналогично расчёт скорости в точке  $\mu = n+1$  выполняется для последнего дискретного вихря.

Полученные дискретные вихри сдвигаются по направлению рассчитанных скоростей  $\bar{W}_{1\mu}^0$  и  $\bar{W}_{n+1\mu}^0$ , моделирующих вихревые пелены  $\sigma_i$ , полученные из решения на нулевом расчётном шаге интегрирования, на расстояние  $\Delta = 1/n$ . В результате в потоке появляются первые свободные вихри  $\delta^{(1)\mu}$  и  $\delta^{(2)\mu}$  (рис. 4) координаты которых равны:

$$\begin{aligned} \bar{x}_1^1 &= \bar{x}_1^0 + \bar{v}_{x1}^1 \Delta; \quad \bar{x}_{n+1}^1 = \bar{x}_{n+1}^0 + \bar{v}_{xn+1}^1 \Delta; \\ \bar{y}_1^1 &= \bar{y}_1^0 + \bar{v}_{y1}^1 \Delta; \quad \bar{y}_{n+1}^1 = \bar{y}_{n+1}^0 + \bar{v}_{yn+1}^1 \Delta. \end{aligned} \quad (15)$$

$$\delta^{(1)\mu} = \Gamma_{n+1}^0; \quad \delta^{(2)\mu} = \Gamma_1^0. \quad (16)$$

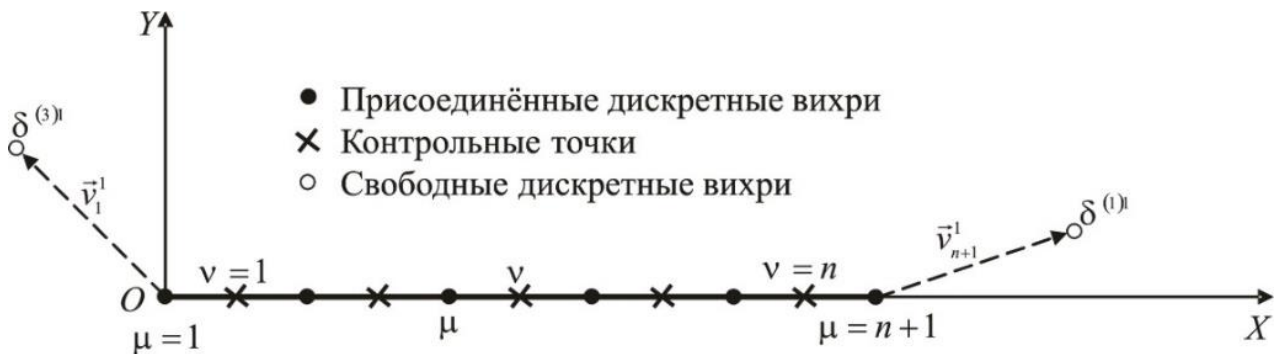


Рисунок 4 – К моделированию первого расчетного шага интегрирования нестационарной отрывной задачи

После перемещения свободных вихрей, моделирующих вихревые пелены, решается СЛАУ (10) с учётом полученных свободных вихрей  $\delta^{(1)\mu}$  и  $\delta^{(2)\mu}$ , которые в каждой контрольной точке  $v$  индуцируют дополнительные скорости  $\bar{W}_{n0v}^{(1)\mu}$  и  $\bar{W}_{n0v}^{(2)\mu}$  нормальные к поверхности профиля. Скорости  $\bar{W}_{n0v}^{(1)\mu}$  и  $\bar{W}_{n0v}^{(2)\mu}$  учитываются в векторе-столбце правых частей СЛАУ. Полученная СЛАУ решается методом исключения Гаусса.

Моделирование второго ( $s = 2$ ) и последующих ( $s_i$ ) шагов интегрирования до заданного ( $s=r$ ) выполняется в следующем порядке:

– рассчитываются скорости  $\bar{v}_1^r$  и  $\bar{v}_{n+1}^r$  в точках  $\mu = 1$  и  $\mu = n + 1$  с учётом свободных вихрей, моделирующих вихревые пелены. Для любого заданного расчётного шага интегрирования выражения (14) примут вид:

$$\begin{aligned}\bar{v}_1^r &= \bar{W}_{1\mu}^{r-1} + \bar{U}_0 + \bar{W}_1^{(1)s} + \bar{W}_1^{(2)s}; \\ \bar{v}_{n+1}^r &= \bar{W}_{n+1\mu}^{r-1} + \bar{U}_0 + \bar{W}_{n+1}^{(1)s} + \bar{W}_{n+1}^{(2)s}; \\ \mu &= 1, 2, \dots, n + 1; s = 1, 2, \dots, r,\end{aligned}\quad (17)$$

где  $\bar{W}_1^{(1)s}$ ,  $\bar{W}_1^{(2)s}$ ,  $\bar{W}_{n+1}^{(1)s}$ ,  $\bar{W}_{n+1}^{(2)s}$  – относительные скорости, индуцируемые вихревыми пеленами 2 и 1 в точках  $\mu = 1$  и  $\mu = n + 1$ ;

– рассчитываются возмущённые скорости в точках, где находятся свободные вихри  $\delta^{(1)s}$  и  $\delta^{(2)s}$ , для этого используются выражения:

$$\bar{W}^r = \bar{W}_\mu^{r-1} + \bar{U}_0 + \bar{W}^{(1)s} + \bar{W}^{(2)s}, \mu = 1, 2, \dots, n + 1, s = 1, 2, \dots, r \quad (18)$$

где  $\bar{W}_\mu^{r-1}$  – относительная скорость, индуцируемая всеми присоединёнными вихрями  $\Gamma_\mu^{r-1}$ ;  $\bar{W}^{(1)s}$  и  $\bar{W}^{(2)s}$  – относительные скорости, индуцируемые всеми свободными вихрями вихревых пелен;

– перемещаются вихри  $\Gamma_1^{r-1}$ ,  $\Gamma_{n+1}^{r-1}$ ,  $\delta^{(1)1}$  и  $\delta^{(2)1}$  по направлениям рассчитанной скорости  $\bar{v}_1^r$ ,  $\bar{v}_{n+1}^r$  и  $\bar{W}^r$  на величину  $\Delta = 1/n$ , в результате в потоке появляются новые свободные вихри  $\delta^{(1)2}$  и  $\delta^{(2)2}$ , кроме того, они получают новые координаты (рис. 5);

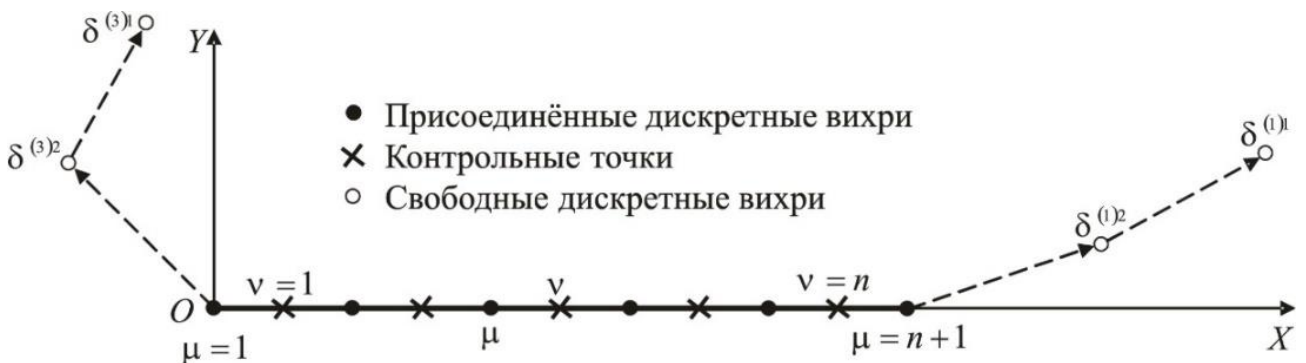


Рисунок 5 – К моделированию второго и последующих расчетных шагов интегрирования нестационарной отрывной задачи

– циркуляции новых свободных вихрей соответственно принимают значения:  $\delta^{(1)2} = \Gamma_{n+1}^1$ ,  $\delta^{(3)2} = \Gamma_{n+1}^1$ , а циркуляции предыдущего шага ин-

тегирования сохраняют свои значения. После этого решается СЛАУ для определения циркуляции  $\Gamma_\mu^r$ ;

– определение аэродинамических нагрузок, действующих на профиль, а также расчёт поля возмущённых скоростей в окрестностях профиля. Расчет нестационарных аэродинамических нагрузок выполняется при решении интеграла Коши – Лагранжа по формуле:

$$\Delta \bar{p}_k^r = 2 \cdot n \cdot \cos \alpha \cdot \Gamma_\mu^r - 2 \cdot \frac{\Delta \Gamma}{\Delta \tau}, \mu = 1, 2, \dots, n+1, \quad (19)$$

где  $n$  – количество расчётных участков на поверхности профиля;  $\alpha$  – угол атаки;  $\Gamma_\mu^r$  – суммарная циркуляция присоединённых вихрей на рассматриваемом расчётном шаге интегрирования  $r$ .

Изменение суммарной циркуляции по контуру  $L$  (рис. 6) рассматривается как происходящее за счет изменения циркуляции суммарных вихрей профиля и схода свободных вихрей. Расчёт производной  $\frac{\Delta \Gamma}{\Delta \tau}$

выполняется по формуле:

$$\frac{\Delta \Gamma}{\Delta \tau} = \frac{\delta^{(1)r} - \delta^{(1)r-1}}{\Delta \tau} + \frac{\Gamma_\varepsilon^r - \Gamma_\varepsilon^{r-1}}{\Delta \tau}; \Delta \tau = \frac{1}{n}, \varepsilon = 1, 2, \dots, k. \quad (20)$$

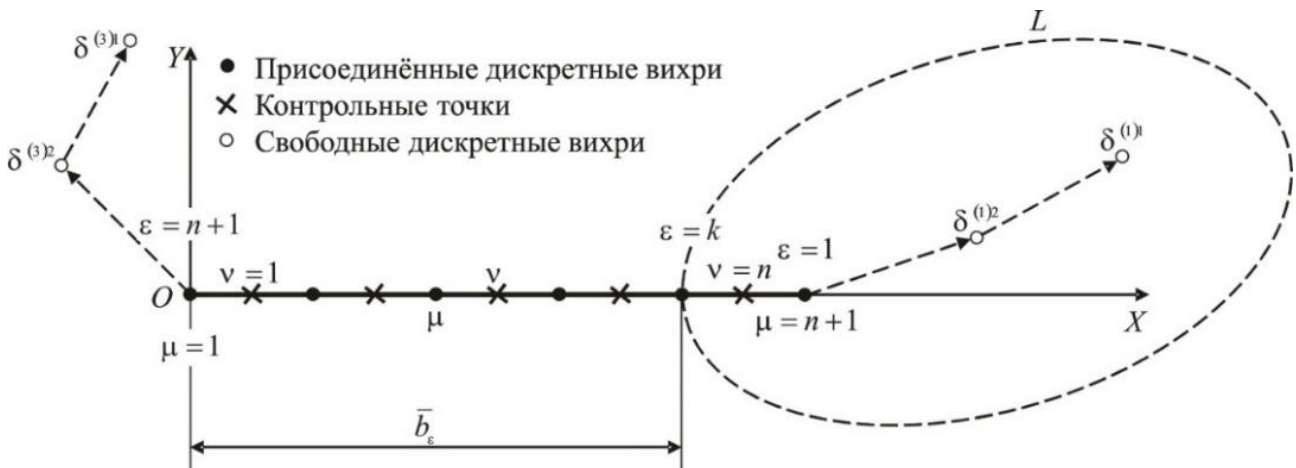


Рисунок 6 – К определению производной циркуляции скорости

Изменение циркуляции  $\Delta \Gamma$  рассматривается внутри некоторого контура  $L$ , проходящего через точку  $k$  и охватывающего присоединённые вихри  $\varepsilon = 1, 2, \dots, k$ , а также свободные вихри  $\delta^{(2)}$ .

Коэффициент подъёмной силы определяется выражением:

$$c_{ya} = \Delta \bar{p}_\varepsilon \frac{1}{n}, \varepsilon = 1, 2, \dots, n+1, \quad (21)$$

а коэффициент момента тангажа:



$$m_z = -\frac{1}{n} \bar{b}_\varepsilon \Delta \bar{p}_\varepsilon, \quad \varepsilon = 1, 2, \dots, n+1, \quad (22)$$

где  $\bar{b}_\varepsilon$  – расстояние от точки приведения до вихря  $\varepsilon = k$ .

### Исследование по методике расчета

Исследовалось влияние числа дискретных вихрей по хорде пластины на практическую сходимость результатов расчета. Чтобы полностью проследить начальный этап обтекания, использовалось большое количество вихрей ( $n=100$ ). При большом значении  $\tau$  расчеты проводились при меньшем числе вихрей ( $n=10$ ;  $n=20$ ), поскольку увеличение числа вихрей уже мало влияло на точность результатов. Как показали исследования, расчетный шаг безразмерного времени  $\Delta\tau$  целесообразно задавать обратно пропорциональным числу вихрей на хорде ( $\Delta\tau \approx b/n$ ).

На рис. 7 показана форма пелены за пластиной, которая в момент  $\tau = 0$  внезапно переходит из состояния покоя к движению со скоростью  $U_0$  при угле ата-

ке  $\alpha = 90^\circ$ . Расчеты проводились при  $n=20$  и  $n=100$ , при этом расчетный шаг безразмерного времени составлял

соответственно  $\Delta\tau = 0,05$ ;  $0,01$ . Во втором случае при  $\Delta\tau = 0,01$  расчеты

точнее описывают поведение вихревой пелены вблизи ее кромок. Как показано аналитически [2], пелена принимает форму спирали бесконечно малого радиуса. По исследованиям форма пелены вблизи края пластины хорошо описывается дискретным методом уже при  $n \geq 20$ . На рисунке 8 приведен аналогичный расчет для угла атаки  $\alpha = 20^\circ$ .

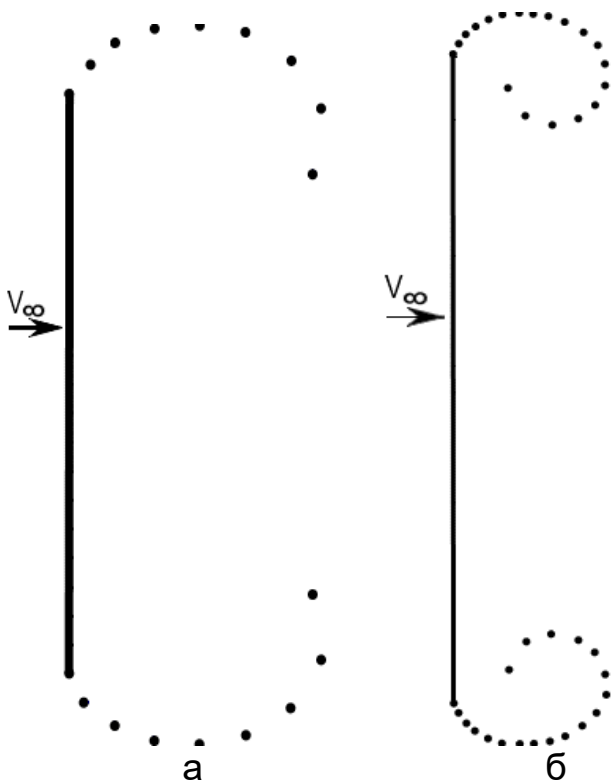


Рисунок 7 – Влияние числа вихрей и расчетного шага по времени на вихревую структуру при отрывном обтекании пластины ( $\alpha = 90^\circ$ ): а,  $n = 20$ ; б,  $n = 100$

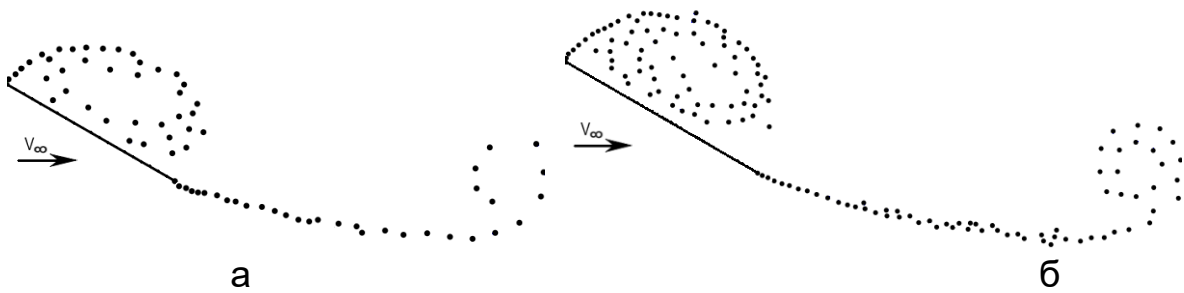


Рисунок 8 – Влияние числа вихрей и расчетного шага по времени на вихревую структуру пластины при отрывном обтекании  $\alpha = 20^\circ$ :  
а,  $n = 20$ ; б,  $n = 100$

При больших значениях  $n$  ( $n = 100$ ) удастся достаточно аккуратно построить зависимость  $c_n(\tau)$  в начальные моменты движения  $\tau = 0$ . Заметим, что численный расчет не позволяет установить все детали обтекания и величины нагрузок при переходе от состояния покоя к движению (вблизи  $\tau = 0$ ). Импульс сил, связанный с бесконечными ускорениями в несжимаемой среде, можно рассчитать по схеме бесциркуляционного обтекания или из решения автомодельной задачи. Однако отрывное обтекание сопровождается мгновенным образованием вихревых спиралей бесконечно малого радиуса, что сказывается на величине значения силы  $c_n(\tau)$  при  $\tau > 0$ .

Рассмотрено влияние числа вихрей на структуру пелены и аэродинамические характеристики пластины при  $\alpha = 30^\circ$ . Расчеты проведены при  $n = 20, 40$  на рис. 9 показан след при  $\tau = 2$ . Как видно, отличия в структурах имеют локальный характер. Крупномасштабные структуры практически совпадают, поэтому будут идентичны поля скоростей. Этим объясняется и то, что зависимости  $c_n(\tau)$  и  $\bar{X}_d(\tau)$  в рассматриваемом диапазоне также практически совпадают (рис. 10, 11).

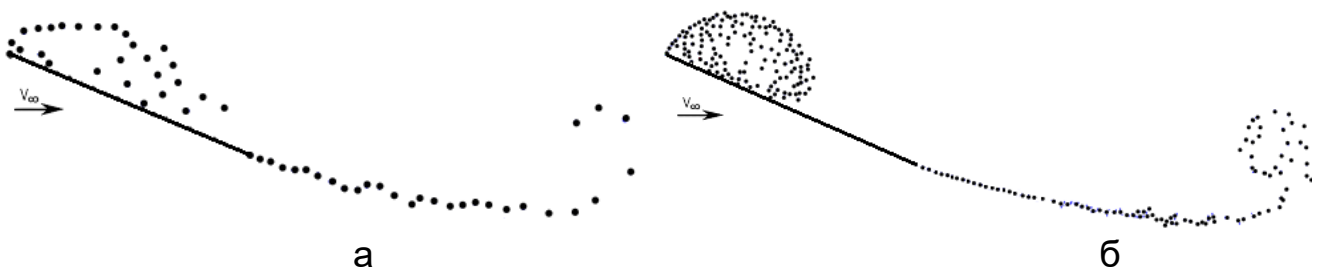


Рисунок 9 – Влияние числа вихрей на вихревую структуру при отрывном обтекании  $\alpha = 30^\circ$ : а,  $n = 20$ ; б,  $n = 40$

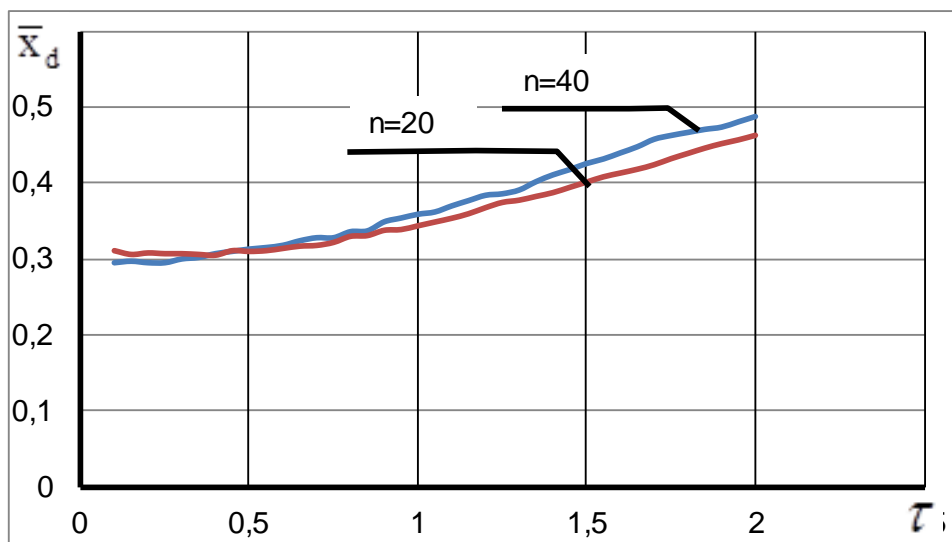


Рисунок 10 – Влияние числа вихрей  $n$  на положение центра давления тонкого профиля при отрывном обтекании ( $\alpha = 30^\circ$ )

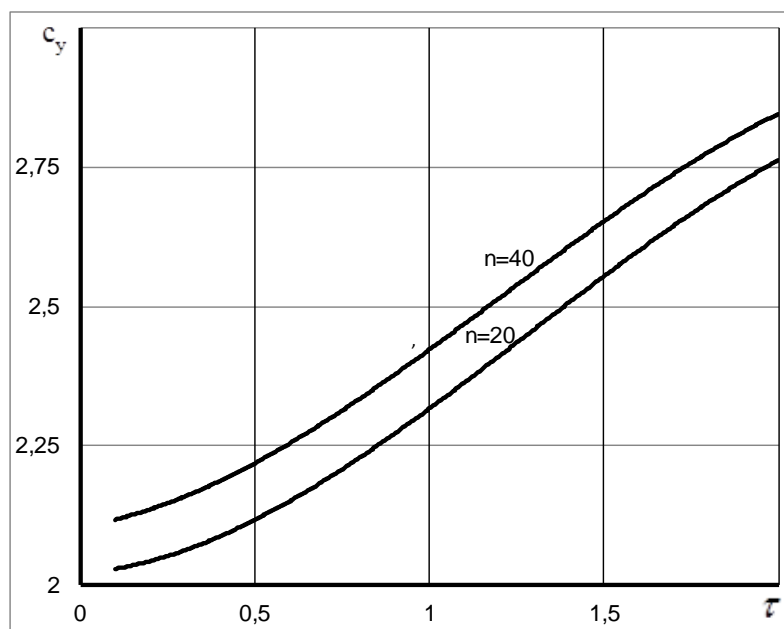


Рисунок 11 – Влияние числа вихрей  $n$  на коэффициент нормальной силы тонкого профиля при отрывном обтекании ( $\alpha = 30^\circ$ )

### Выводы

Расчет нелинейных нестационарных характеристик профиля сводится к решению системы линейных алгебраических уравнений. Число этих уравнений равно числу неизвестных циркуляций, а коэффициенты уравнений представляют собой совокупность безразмерных скоростей, вычисленных от дискретных вихрей, моделирующих профиль и его след. Указанная система линейных алгебраических уравнений является устойчивой. Было определено, что малые изменения коэффициентов

уравнений, вызванные малыми деформациями вихревого следа, приводят к малым изменениям решений. Это объясняется тем, что значения элементов главной диагонали матрицы коэффициентов по модулю превышают значения остальных элементов, так как наибольшую безразмерную скорость вызывает тот вихрь, ближе к которому находится контрольная точка.

Анализ результатов отрывного обтекания показал, что после переходного режима устанавливается колебательный характер нагружения профиля. Периодическое изменение аэродинамических сил и моментов при отрывном обтекании связано с переменностью циркуляций присоединённых вихрей на профиле. Это изменение в идеальной среде происходит за счет образования и схода в поток свободных вихрей, которые сбегают с передней и задней кромок, что приводит к образованию вихревых дорожек.

Таким образом представленный алгоритм расчета нелинейных аэродинамических характеристик, построенный на базе метода дискретных вихрей, позволяет получать достоверные аэродинамические характеристики как тонких, так и телесных профилей. Интерес нелинейных аэродинамических характеристик вызван тем, что этапы взлета и посадки самолетов, полеты с большими перегрузками выполняются при больших углах отклонения органов управления, многие режимы работы турбин и компрессоров происходят на режимах близких к критическим. При проектировании летательных аппаратов большое применение находят крылья сложной формы в плане с острыми передними кромками. Отрыв потока на этих кромках начинается уже при малых углах атаки, а возникающая вихревая пелена оказывается устойчивой и значительно влияет на несущие свойства крыла. Поэтому использование стационарного отрывного режима обтекания в отличие от нестационарного нелинейного режима обтекания не дает полной картины влияния вихревой пелены на аэродинамические характеристики крыла.

### **Список использованных источников**

1. Белоцерковский, С. М. Отрывное и безотрывное обтекание тонких крыльев идеальной жидкостью [Текст] / С. М. Белоцерковский, М. И. Ништ. – М.: Наука, 1978. – 351 с.
2. Никольский, А. А. Законы подобия для трехмерного стационарного отрывного обтекания тел жидкостью и газом [Текст] / А.А. Никольский – М.: Ученые записки ЦАГИ. 1979. №1
3. Красновольский, В. В. Методика расчета потенциального обтекания профиля [Текст] / В.В. Красновольский // Открытые информационные и компьютерные интегрированные технологии: сб. науч. тр. / М-во образования и науки Украины, Нац. аэрокосм. ун-т им. Н. Е. Жуковского «ХАИ». – Харьков, 2016. – Вып. 74. – С. 209 – 215.

4. Yeryomenko, S. Mathematical Modeling of the Flow behind Propeller [Текст] / S Yeryomenko, O Solovyov, V Kobrin. – USA Redfame Publishing, Beaverton.: Studies in Engineering and Technology, 2015. – 77-85 с.

5. Порошин, С. М. Математическое моделирование обтекания профиля [Текст] / С.М. Порошин, О.В. Соловьев, П.Н. Соляник // Научно-технический журнал наука и техника воздушных сил вооружённых сил Украины: сб. науч. тр. / М-во образования и науки Украины, ун-т воздушных сил им. И. Кожедуба. – Харьков, 2016. – Вып. 23. – С. 85 – 89.

6. Аубакиров, Т.О. Нелинейная теория крыла и ее приложения. [Текст] / Т.О. Аубакиров, С.М. Белоцерковский, А.И. Желанников, М.И. Ништ. – Алматы, Гылым, 1997. – 448с.

*Поступила в редакцию 07.03.2018 .*

*Рецензент: д-р техн. наук, проф. А.В. Гайдачук,  
Национальный аэрокосмический университет  
им. Н.Е. Жуковского «ХАИ», г. Харьков.*